

Modellierung von Hydrosystemen
"Numerische und daten-basierte Methoden"
BHYWI-22-04 @ 2020
Finite-Differenzen-Methode

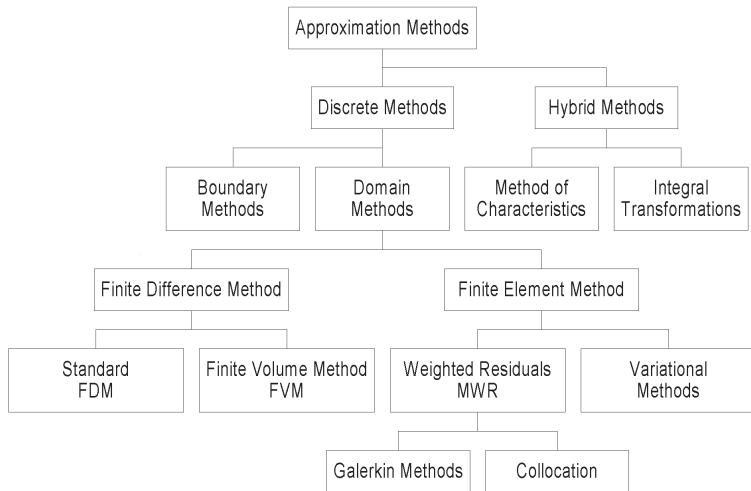
Olaf Kolditz

*Helmholtz Centre for Environmental Research – UFZ

¹Technische Universität Dresden – TUDD

²Centre for Advanced Water Research – CAWR

19.06.2020 - Dresden



Bisher

- ▶ Wiederholung Hydromechanik:
Grundwasserströmungsgleichung
- ▶ Übung Einzugsgebiet: Berechnungsverfahren

Heute: Finite-Differenzen-Verfahren

- ▶ Grundlagen - GWE
- ▶ Grundlagen - TSE
- ▶ Übungen zur expliziten FDM (page 12) [BHYWI-22-E2]

Übungen: Werkzeuge

► PDE

$$S \frac{\partial h}{\partial t} - \frac{\partial}{\partial x} \left(K_x \frac{\partial h}{\partial x} \right) - \frac{\partial}{\partial y} \left(K_y \frac{\partial h}{\partial y} \right) = Q \quad (1)$$

in time ($\Delta t = t^{n+1} - t^n$)

$$u_j^{n+1} = \sum_{m=0}^{\infty} \frac{\Delta t^m}{m!} \left[\frac{\partial^m u}{\partial t^m} \right]_j \quad (2)$$

in space ($\Delta x = x_{i+1}^n - x_i^n$)

$$u_{i+1}^n = \sum_{m=0}^{\infty} \frac{\Delta x^m}{m!} \left[\frac{\partial^m u}{\partial x^m} \right]_i \quad (3)$$

in space ($\Delta y = y_{j+1}^n - y_j^n$)

$$u_{j+1}^n = \sum_{m=0}^{\infty} \frac{\Delta y^m}{m!} \left[\frac{\partial^m u}{\partial y^m} \right]_j \quad (4)$$

► Zeitableitung

$$\left[\frac{\partial u}{\partial t} \right]_j^n = \frac{u_j^{n+1} - u_j^n}{\Delta t} - \frac{\Delta t}{2} \left[\frac{\partial^2 u}{\partial t^2} \right]_j^n - O(\Delta t^2) \quad (5)$$

► in space

$$\left[\frac{\partial^2 u}{\partial x^2} \right]_{i,j}^n = \frac{u_{i+1,j}^n - 2u_{i,j}^n + u_{i-1,j}^n}{\Delta x^2} - \frac{\Delta x^2}{12} \left[\frac{\partial^4 u}{\partial x^4} \right]_{i,j}^n - \dots \quad (6)$$

$$\left[\frac{\partial^2 u}{\partial y^2} \right]_{i,j}^n = \frac{u_{i,j+1}^n - 2u_{i,j}^n + u_{i,j-1}^n}{\Delta y^2} - \frac{\Delta y^2}{12} \left[\frac{\partial^4 u}{\partial y^4} \right]_{i,j}^n - \dots \quad (7)$$

$$\begin{aligned}
 & S_{i,j} \frac{u_{i,j}^{n+1} - u_{i,j}^n}{\Delta t} \\
 - & K_{i,j}^x \frac{u_{i+1,j}^n - 2u_{i,j}^n + u_{i-1,j}^n}{\Delta x^2} - K_{i,j}^y \frac{u_{i,j+1}^n - 2u_{i,j}^n + u_{i,j-1}^n}{\Delta y^2} = Q_{i,j}
 \end{aligned} \tag{8}$$

$$\begin{aligned}
 u_{i,j}^{n+1} &= u_{i,j}^n \\
 &+ \frac{K_{i,j}^x}{S_{i,j}} \frac{\Delta t}{\Delta x^2} u_{i+1,j}^n - 2u_{i,j}^n + u_{i-1,j}^n \\
 &+ \frac{K_{i,j}^y}{S_{i,j}} \frac{\Delta t}{\Delta y^2} u_{i,j+1}^n - 2u_{i,j}^n + u_{i,j-1}^n \\
 &+ \frac{Q_{i,j}}{S_{i,j}}
 \end{aligned} \tag{9}$$

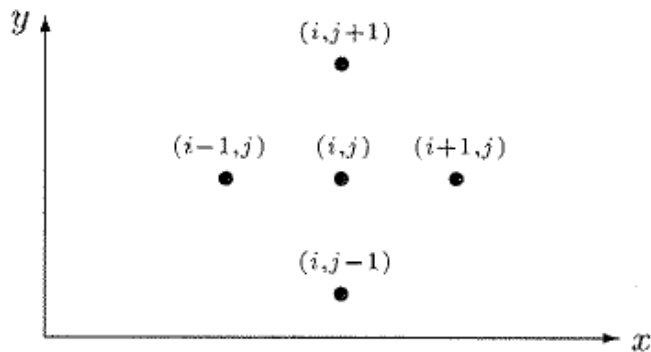


Figure: 5-Punkte-Stern (Knabner und Angermann 2000)

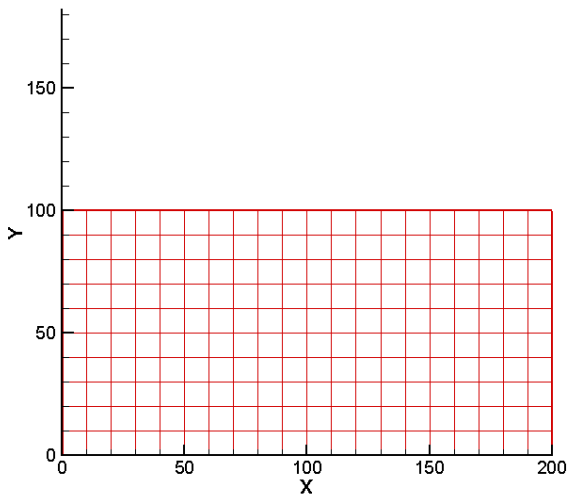
► Datenstrukturen

Table:

Feldgröße	u
Physikalische Parameter	S, K, Q
Numerische Parameter	$\Delta t, \Delta x, \Delta y$

Die Minimal-Datenstrukturen für die Programmierung der Gleichung (??) sind damit:

```
std::vector<float>u_new;  
std::vector<float>u_old;  
float S0,Kf,Q;  
float dx,dy,dt;
```



Um dieses Gitter "abtasten" zu können, schreiben wir folgende doppelte Schleife.

```
for(j=0;j<jy;j++)
{
  nn = j*ix;
  for( i=0;i<ix;i++)
  {
    n = nn+i;
    u_new[n] = u[n] \
      + Kf/S0*dt/dx2 * (u[n+1]-2*u[n]+u[n-1]) \
      + Kf/S0*dt/dy2 * (u[(j+1)*ix+i]-2*u[n]+u[(j-1)*ix+i]) \
      + Q/S0;
  }
}
```

Um dieses Gitter "abtasten" zu können, schreiben wir folgende doppelte Schleife.

```
for(int j=0;j<jy;j++)
{
  nn = j*ix;
  for(int i=0;i<ix;i++)
  {
    n = nn+i;
    if(IsBCNode(n,bc_nodes))
      continue;
    u_new[n] = u[n] \
      + Kf/S0*dt/dx2 * (u[n+1]-2*u[n]+u[n-1]) \
      + Kf/S0*dt/dy2 * (u[(j+1)*ix+i]-2*u[n]+u[(j-1)*ix+i]) \
      + Q/S0;
  }
}
```

Dabei ist j der Laufindex über die y Richtung und i der Laufindex über die x Richtung. Ganz wichtig ist natürlich, den Speicher für die Vektoren bereitzustellen, bevor es los geht.

```
u.resize(ix*jy);  
u_new.resize(ix*jy);
```

- ▶ Welche Rolle spielen ix und jy bei der Speicherreservierung?

Natürlich müssen auch die Parameter vor der Berechnung initialisiert werden

```
ix = 21;  
jy = 11;  
dx = 10.;  
dy = 10.;  
dt = 0.25e2;  
S0 = 1e-5;  
Kf = 1e-5;  
Q = 0.;  
u0 = 0.;
```

- ▶ Welche Einheiten haben die einzelnen Parameter?

Das mit den Anfangsbedingungen ist eine einfache Sache. Mit der Doppelschleife über alle Knoten, können wir sehr einfach einen Wert u_0 als Anfangsbedingung überall zuweisen.

```
for(int i=0;i<ix;i++)
  for(int j=0;j<jy;j++)
  {
    u[j*(ix+1)] = u0;
    u_new[j*(ix+1)] = u0;
  }
}
```


Mit den Randbedingungen ist es etwas kniffliger ...

```
//top and bottom
int l;
for(int i=0;i<ix;i++)
{
    bc_nodes.push_back(i); u[i] = u_top  u_new[i] = u_top;
    l = ix*(jy-1)+i;
    bc_nodes.push_back(l); u[l] = u_bottom;  u_new[l] = u_bottom;
}
//left and right side
for(int j=1;j<jy-1;j++)
{
    l = ix*j;
    bc_nodes.push_back(l); u[l] = u_left;  u_new[l] = u_left;
    l = ix*j+ix-1;
    bc_nodes.push_back(l); u[l] = u_right;  u_new[l] = u_right;
}
```

Sie sehen, dass wir für die Zuweisung der Randbedingungen eine neue Datenstruktur eingeführt haben.

```
std::vector<float>u_bc;
```

Das Einbauen der Randbedingungen integrieren wir direkt in die Doppelschleife zur Berechnung der Knotenwerte. Dabei kommt eine neue Funktion `IsBCNode` ins Spiel, die wir uns gleich noch näher anschauen. `IsBCNode` soll eigentlich nichts anderes machen, als beim Auftreten einer Randbedingung nichts zu tun (i.e. `continue`). Randbedingungswerte sind gesetzt, müssen also nicht gerechnet werden.

```
for(int j=0;j<jy;j++)
{
    nn = j*ix;
    for(int i=0;i<ix;i++)
    {
        n = nn+i;
        if(IsBCNode(n,bc_nodes))
            continue;
        ...
    }
}
```

Wie funktioniert nun IsBCNode?

```
bool IsBCNode(int n, std::vector<int>bc_nodes)
{
    bool is_node_bc = false;
    for(int k=0;k<(size_t)bc_nodes.size();k++)
    {
        if(n==bc_nodes[k])
        {
            is_node_bc = true;
            return is_node_bc;
        }
    }
    return is_node_bc;
}
```

Struktur der Funktion:

- ▶ Rückgabewert: logischer Wert wahr oder falsch
- ▶ Parameter: aktueller Gitterpunkt und Randbedingungsknotenvektor

Die Funktion überprüft, ob der Gitterpunkt n ein Randbedingungsknoten ist und gibt den entsprechenden logischen Wert zurück.

Das Ergebnis der finite Differenzen Simulation sehen wir in der Abb.

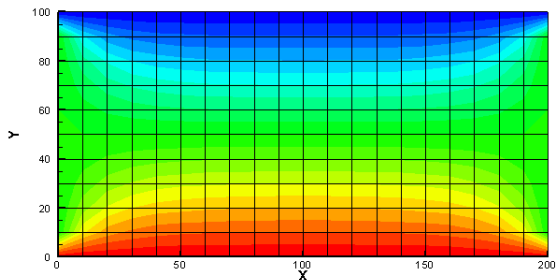


Figure: Berechnete Druckverteilung im Rechteck-Aquifer nach 100 Zeitschritten $\Delta t = 25$ sec

Jetzt werden wir mutig und vergrößern mal den Zeitschritt, sagen wir mal verdoppeln: $\Delta t = 50$ sec. Das Maleur sehen wir in der Abb. Was ist hier los?

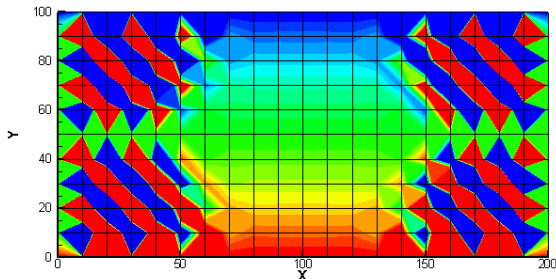


Figure: Berechnete Druckverteilung im Rechteck-Aquifer nach 100 Zeitschritten $\Delta t = 50$ sec

Wir erinnern uns noch dunkel daran, dass der Preis für das einfache explizite FDM ein strenges Stabilitätskriterium war (siehe Hydroinformatik, Teil II, Abschn. 3.2.2 und Abschn. 4.1). Dabei muss die Neumann-Zahl kleiner einhalb sein.

$$Ne = \alpha \frac{\Delta t}{\Delta x^2} \leq \frac{1}{2} \quad (10)$$

Prima, aber was ist jetzt α und warum steht nur Δx und nicht auch Δy in der Gleichung? Zur bestimmung des α schreiben wir die Grundwassergleichung in eine Diffusionsgleichung wie folgt um.

$$\frac{\partial h}{\partial t} = \frac{K_x}{S} \frac{\partial^2 h}{\partial x^2} + \frac{K_y}{S} \frac{\partial^2 h}{\partial y^2} + \frac{Q}{S} \quad (11)$$

Wir sehen, dass es eigentlich zwei α -s gibt, für jede Richtung eins.

$$\alpha_x = \frac{K_x}{S} \quad (12)$$

$$\alpha_y = \frac{K_y}{S}$$

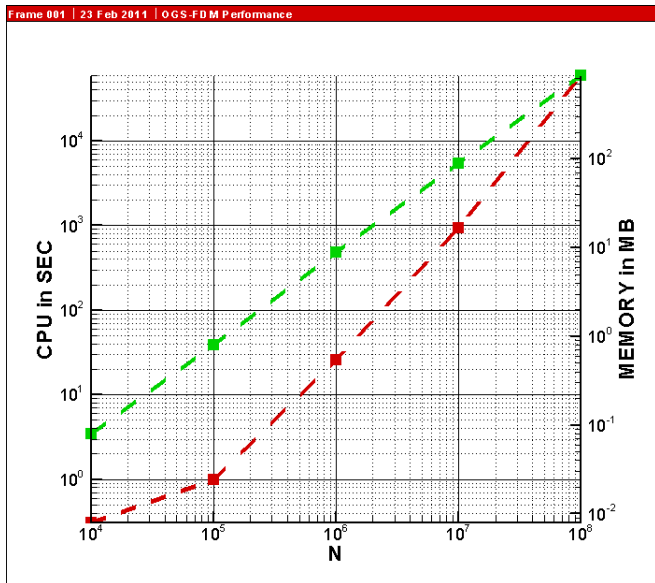
- ▶ Welche Einheit hat unser Grundwasser- α ?

Der richtige Zeitschritt für unser explizites FD Verfahren ergibt sich somit zu:

$$\Delta t \leq \frac{\min(\Delta x^2, \Delta y^2)}{2\alpha} \quad (13)$$

Die numerischen und hydraulischen Parameter sind in der nachfolgenden Tabelle ?? zu finden. Glücklicherweise sind die Ortdiskretisierungen und die hydraulischen Leitfähigkeiten in beide Koordinatenrichtungen gleich (isotropes Problem).

$$\Delta t \leq \frac{100m^2}{2 \times 1m^2/s} = 50s \quad (14)$$



Wie stellen wir eine Zeitmessung in einem Programm an.

```
clock_t start, end; Definitionen
```

```
...
```

```
start = clock();    Beginn Zeitmessung
```

```
...
```

```
end = clock();      Ende Zeitmessung
```

```
...
```

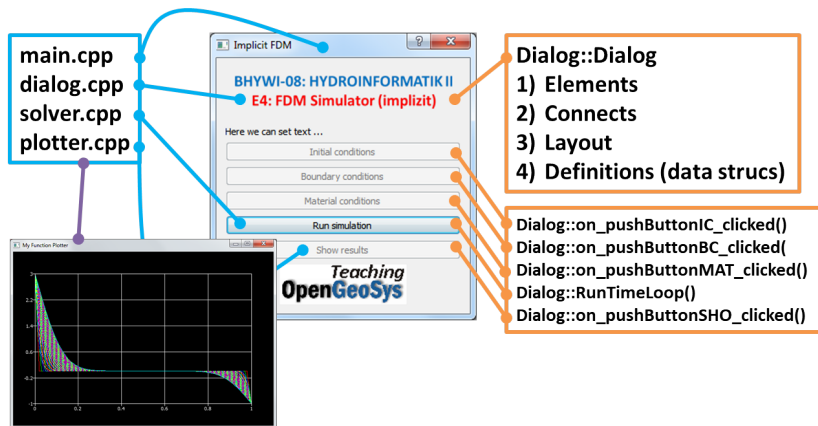
```
time= (end-start)/(double)(CLOCKS_PER_SEC); Differenz
```

Übung E2 Der Quelltext für diese Übung befindet sich in EXERCISES.

Übungen: Werkzeuge



- ▶ Editor
- ▶ Compiler
- ▶ Workflows
- ▶ Ergebnisdarstellung



Modellierung von Hydrosystemen
"Numerische und daten-basierte Methoden"
BHYWI-22-V2-08 © 2020
implizite Finite-Differenzen-Methode
Selke-Modell

Olaf Kolditz

*Helmholtz Centre for Environmental Research – UFZ

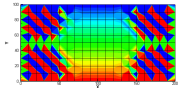
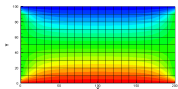
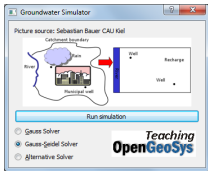
¹Technische Universität Dresden – TUDD

²Centre for Advanced Water Research – CAWR

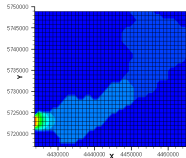
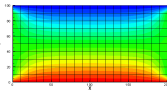
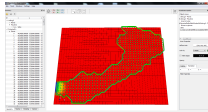
03.07.2020 - Dresden

- ▶ (void FDM::OutputResultsVTK(int t))
- ▶ implizite FDM (2D)
- ▶ Gleichungssysteme

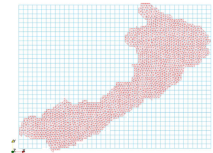
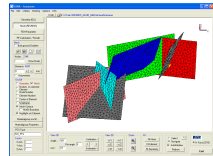
explizite FDM



implizite FDM



FEM



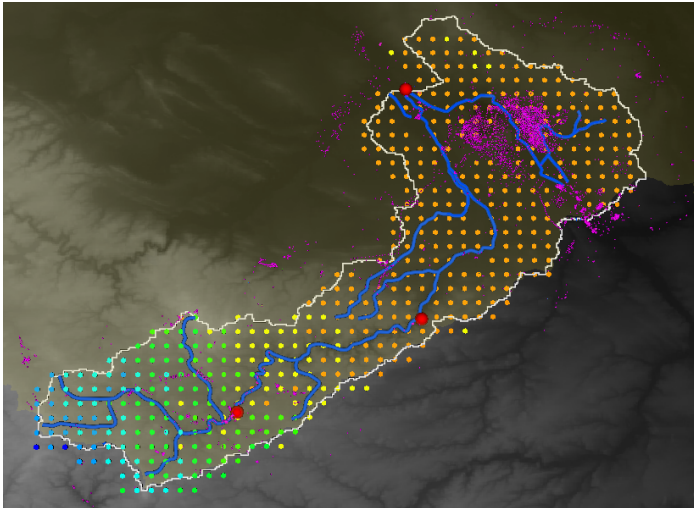
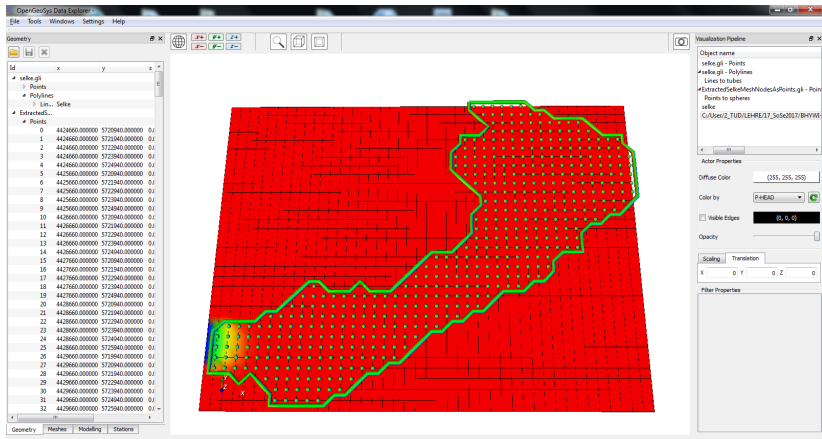


Figure: Untersuchungsgebiet - Selke

Selke Einzugsgebiet



siehe auch Abschn. 4.2 Hydroinformatik II

- ▶ Auswertung der Ableitungen zum neuen Zeitpunkt t^{n+1}

$$\left[\frac{\partial^2 h}{\partial x^2} \right]_{i,j}^{n+1} \approx \frac{h_{i-1,j}^{n+1} - 2h_{i,j}^{n+1} + h_{i+1,j}^{n+1}}{\Delta x^2} \quad (1)$$

$$\left[\frac{\partial^2 u}{\partial y^2} \right]_{i,j}^{n+1} \approx \frac{h_{i,j-1}^{n+1} - 2h_{i,j}^{n+1} + h_{i,j+1}^{n+1}}{\Delta y^2} \quad (2)$$

► Differenzen-Schema

$$-K_{i,j}^x \frac{u_{i+1,j}^{n+1} - 2u_{i,j}^{n+1} + u_{i-1,j}^{n+1}}{\Delta x^2} - K_{i,j}^y \frac{u_{i,j+1}^{n+1} - 2u_{i,j}^{n+1} + u_{i,j-1}^{n+1}}{\Delta y^2} = Q_{i,j} + S_{i,j} \frac{u_{i,j}^{n+1} - u_{i,j}^n}{\Delta t} \quad (3)$$

► Gleichungssystem

$$\begin{aligned} & \left(\frac{S}{\Delta t} + 2\frac{K^x}{\Delta x^2} + 2\frac{K^y}{\Delta y^2} \right) u_{i,j}^{n+1} \\ - & \left(\frac{K^x}{\Delta x^2} \right) (u_{i-1,j}^{n+1} + u_{i+1,j}^{n+1}) - \left(\frac{K^y}{\Delta y^2} \right) (u_{i,j-1}^{n+1} + u_{i,j+1}^{n+1}) \\ = & \frac{S}{\Delta t} u_{i,j}^n + Q_{i,j} \end{aligned} \quad (4)$$

Wir vereinfachen die Gleichung (4), indem wir für den Moment annehmen, dass $K^x = K^y = K$ (Isotropie) und $\Delta x = \Delta y = \Delta l$ (gleichförmige Diskretisierung). Die Multiplikation mit $\Delta t/S$ ergibt dann folgende Beziehung.

$$\begin{aligned} & \left(1 + 4 \frac{K \Delta t}{S \Delta l^2} \right) u_{i,j}^{n+1} \\ & - \left(\frac{K \Delta t}{S \Delta l^2} \right) (u_{i-1,j}^{n+1} + u_{i+1,j}^{n+1} + u_{i,j-1}^{n+1} + u_{i,j+1}^{n+1}) \\ & = u_{i,j}^n + \frac{\Delta t}{S} Q_{i,j} \end{aligned} \quad (5)$$

K : Vergleichen Sie die Beziehung (5) mit der Gleichung (4.10, Skript Hydroinformatik II).

Der Ausdruck $K/S = \alpha$ entspricht dem Diffusivitätskoeffizienten (Überprüfen sie dies anhand der Einheiten). Damit ist die Neumann-Zahl

$$Ne = \frac{K}{S} \frac{\Delta t}{\Delta l^2} \quad (6)$$

Nun versuchen wir anhand der Gleichung (5) die Struktur des zu lösenden Gleichungssystems zu beschreiben. Wir gehen wieder ganz genau so vor wie bei der 1D Diffusionsgleichung im Abschn. 4.2 (Hydroinformatik II).

2D implizite FDM - Gleichungssystem

$$\underbrace{\begin{bmatrix} 1 + 4Ne & -Ne & & & & \\ -Ne & \dots & \dots & & & \\ & \dots & \dots & \dots & & \\ & & & -Ne & 1 + 4Ne & \\ & & & & & 1 + 4Ne & -Ne \\ & & & & & \dots & \dots & \dots \\ & & & & & & -Ne & 1 + 4Ne \end{bmatrix}}_{\mathbf{A}} \underbrace{\begin{bmatrix} u_{0,0}^{n+1} \\ u_{1,0}^{n+1} \\ \dots \\ u_{l-1,0}^{n+1} \\ u_{0,1}^{n+1} \\ \dots \\ u_{l-1,j-1}^{n+1} \end{bmatrix}}_{\mathbf{x}} = \underbrace{\begin{bmatrix} u_{0,0}^n + b_{0,0} \\ u_{1,0}^n + b_{1,0} \\ \dots \\ u_{l-1,0}^n + b_{l-1,0} \\ u_{0,1}^n + b_{0,1} \\ \dots \\ u_{l-1,j-1}^n + b_{l-1,j-1} \end{bmatrix}}_{\mathbf{b}}$$

Auch was die Programmierung betrifft, können wir auf unsere Erfahrungen in Hydroinformatik II aufbauen. Es gibt praktisch keinen Unterschied, ob wir es mit einem 1D oder 2D Problem zu tun haben. Wir müssen lediglich aufpassen, dass wir die Indizes richtig zählen.

Wir benutzen die Grundstruktur des objekt-orientierten Programms für das explizite FD Verfahren (Abschn. ??). Die wesentlichen Unterschiede der impliziten zur expliziten FDM sind, dass wir ein Gleichungssystem aufbauen und lösen müssen.

2D implizite FDM - die main function

```
#include <iostream>
#include "fdm.h"
#include <time.h>
extern void Gauss(double*,double*,double*,int);
int main(int argc, char *argv[])
{
    //-----
    FDM* fdm = new FDM();
    fdm->SetInitialConditions();
    fdm->SetBoundaryConditions();
    //-----
    int tn = 2;
    for(int t=0;t<tn;t++)
    {
        fdm->AssembleEquationSystem();
        Gauss(fdm->matrix,fdm->vecb,fdm->vecx,fdm->IJ);
        fdm->SaveTimeStep();
        fdm->OutputResults(t);
    }
    //-----
    fdm->out_file.close();
    return 0;
}
```

Dennoch können wir erstaunlich viel wiederverwenden, bis auf

```
fdm->AssembleEquationSystem();  
Gauss(fdm->matrix,fdm->vecb,fdm->vecx,fdm->IJ);
```

Der Gleichungslöser Gauss ist übrigens genau der gleiche, den wir schon für die Lösung des impliziten FD Verfahrens für die Diffusionsgleichung in Hydroinformatik II benutzt haben.

Der Reihe nach. Die Assemblierfunktion soll das Gleichungssystem (7) aufbauen. Vom Prinzip her das Gleiche wie beim 1D FD Verfahren:

- ▶ Die Hauptdiagonale bekommt den Wert $1 + 4Ne$,
- ▶ die Nebendiagonalen haben den Wert $-Ne$.

Dies lässt sich programmtechnisch recht einfach bewerkstelligen (sie erinnern sich, wie wir in einer Doppelschleife, die Hauptdiagonale herausfinden können)

```
void FDM::AssembleEquationSystem()
{
    // Matrix entries
    for(i=0;i<IJ;i++)
    {
        vecb[i] = u[i];
        for(j=0;j<IJ;j++)
        {
            matrix[i*IJ+j] = 0.0;
            if(i==j)
                matrix[i*IJ+j] = 1. + 4.*Ne;
            else if(abs((i-j))==1)
                matrix[i*IJ+j] = - Ne;
        }
    }
    // Incorporate boundary conditions
    IncorporateBoundaryConditions();
    // Matrix output
    WriteEquationSystem();
}
```

2D implizite FDM

Um die Assemblierfunktion zu testen bauen wir uns ein ganz einfaches Beispiel bestehend aus nur 9 Knoten (Abb. 2) - je einfacher, desto besser.

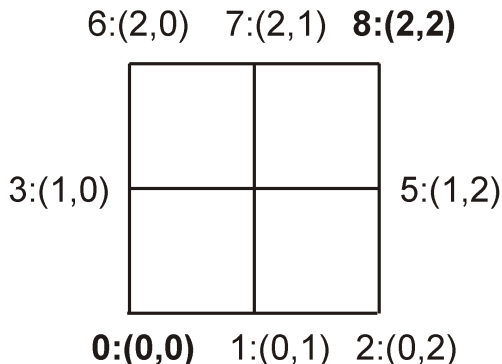


Figure: Testbeispiel

Mit Hilfe der nützlichen Funktion `WriteEquationSystem()` können wir das Gleichungssystem in eine Datei schreiben, das Ergebnis passt.

```
2 -0.25 0 0 0 0 0 0 0 0
-0.25 2 -0.25 0 0 0 0 0 0 0
0 -0.25 2 -0.25 0 0 0 0 0 0
0 0 -0.25 2 -0.25 0 0 0 0 0
0 0 0 -0.25 2 -0.25 0 0 0 0
0 0 0 0 -0.25 2 -0.25 0 0 0
0 0 0 0 0 -0.25 2 -0.25 0 0
0 0 0 0 0 0 -0.25 2 -0.25 0
0 0 0 0 0 0 0 -0.25 2 0
```

Etwas kniffliger ist es mit dem Einbauen der Randbedingungen. Wir erinnern uns, der Trick war eine Manipulation der Matrix und des RHS (right-hand-side) vectors, um den vorgegebenen Wert der Randbedingung zu erzwingen. Der Code zeigt das Beispiel für den Einbau einer Randbedingung im Knoten (also oben rechts in unseren kleinen Testbeispiel).

2D implizite FDM

```
void FDM::IncorporateBoundaryConditions()
{
    size_t i_bc;
    int i_row, k;
    for(i_bc=0;i_bc<bc_nodes.size();i_bc++)
    {
        i_row = bc_nodes[i_bc];
        // Null off-diagonal entries of the related row and columns
        // Apply contribution to RHS by BC
        for(j=0;j<IJ;j++)
        {
            if(i_row == j)
                continue; // do not touch diagonals
            matrix[i_row*(IJ)+j] = 0.0; // NULL row
            k = j*(IJ)+i_row;
            // Apply contribution to RHS by BC
            vecb[j] -= matrix[k]*u[i_row];
            matrix[k] = 0.0; // Null column
        }
        // Apply Dirichlet BC
        vecb[i_row] = u[i_row]*matrix[i_row*(IJ)+i_row];
    }
}
```

Wir schreiben wieder das Gleichungssystem mit `WriteEquationSystem()` in eine Datei und schauen uns jeden Schritt genau an.

- ▶ Diagonalelemente werden nicht angefasst.
- ▶ Reihe zu Null setzen

```
2 0 0 0 0 0 0 0 0 0          b: 1
-0.25 2 -0.25 0 0 0 0 0 0 0 b: 0
0 -0.25 2 -0.25 0 0 0 0 0 0 b: 0
0 0 -0.25 2 -0.25 0 0 0 0 0 b: 0
0 0 0 -0.25 2 -0.25 0 0 0 0 b: 0
0 0 0 0 -0.25 2 -0.25 0 0 0 b: 0
0 0 0 0 0 -0.25 2 -0.25 0 0 b: 0
0 0 0 0 0 0 -0.25 2 -0.25 0 b: 0
0 0 0 0 0 0 0 -0.25 2 -0.25 b: 0
0 0 0 0 0 0 0 0 0 2          b: -1
```

► Rechte Seite manipulieren

```
2 0 0 0 0 0 0 0 0 0          b: 1
-0.25 2 -0.25 0 0 0 0 0 0 0 b: 0.25
0 -0.25 2 -0.25 0 0 0 0 0 0 b: 0
0 0 -0.25 2 -0.25 0 0 0 0 0 b: 0
0 0 0 -0.25 2 -0.25 0 0 0 0 b: 0
0 0 0 0 -0.25 2 -0.25 0 0 0 b: 0
0 0 0 0 0 -0.25 2 -0.25 0 0 b: 0
0 0 0 0 0 0 -0.25 2 -0.25 b: -0.25
0 0 0 0 0 0 0 0 0 2          b: -1
```


► Spalte Null setzen

```
2 0 0 0 0 0 0 0 0 0      b: 1
0 2 -0.25 0 0 0 0 0 0      b: 0.25
0 -0.25 2 -0.25 0 0 0 0 0  b: 0
0 0 -0.25 2 -0.25 0 0 0 0  b: 0
0 0 0 -0.25 2 -0.25 0 0 0  b: 0
0 0 0 0 -0.25 2 -0.25 0 0  b: 0
0 0 0 0 0 -0.25 2 -0.25 0  b: 0
0 0 0 0 0 0 -0.25 2 0      b: -0.25
0 0 0 0 0 0 0 0 0 2      b: -1
```

► Neumann Randbedingungen setzen

```
2 0 0 0 0 0 0 0 0 0      b:2
0 2 -0.25 0 0 0 0 0 0      b:0.25
0 -0.25 2 -0.25 0 0 0 0 0  b:0
0 0 -0.25 2 -0.25 0 0 0 0  b:0
0 0 0 -0.25 2 -0.25 0 0 0  b:0
0 0 0 0 -0.25 2 -0.25 0 0  b:0
0 0 0 0 0 -0.25 2 -0.25 0  b:0
0 0 0 0 0 0 -0.25 2 0      b:-0.25
0 0 0 0 0 0 0 0 0 2      b:-2
```

Schließlich ergibt sich folgendes Gleichungssystem zur Lösung durch das Gauss-Verfahren noch mal richtig aufgeschrieben.

$$\begin{aligned}2h_1^{n+1} &= 2h_1^n \\2h_2^{n+1} - 0.25h_3^{n+1} &= h_2^n + 0.25h_1^n \\-0.25h_2 + 2h_3 - 0.5h_4 &= 0 \\-0.25h_3 + 2h_4 - 0.5h_5 &= 0 \\-0.25h_4 + 2h_5 - 0.5h_6 &= 0 \\-0.25h_5 + 2h_6 - 0.5h_7 &= 0 \\-0.25h_6 + 2h_7 - 0.5h_8 &= 0 \\-0.25h_7 + 2h_8 &= -0.25 \\2h_9^{n+1} &= h_9^n - 2\end{aligned}$$

Das geschriebene Ergebnisfile sieht dann folgendermaßen aus.

```
ZONE T="0.25", I=3, J=3, DATAPACKING=POINT
```

```
0 0 1
```

```
1 0 0.127016
```

```
2 0 0.016129
```

```
0 1 0.00201613
```

```
1 1 0
```

```
2 1 -0.00201613
```

```
0 2 -0.016129
```

```
1 2 -0.127016
```

```
2 2 -1
```

```
ZONE T="100.", I=3, J=3, DATAPACKING=POINT
```

```
0 0 1
```

```
1 0 0.267857
```

```
2 0 0.0714286
```

```
0 1 0.0178571
```

```
1 1 1.80718e-19
```

```
2 1 -0.0178571
```

```
0 2 -0.0714286
```

```
1 2 -0.267857
```

```
2 2 -1
```

2D implizite FDM

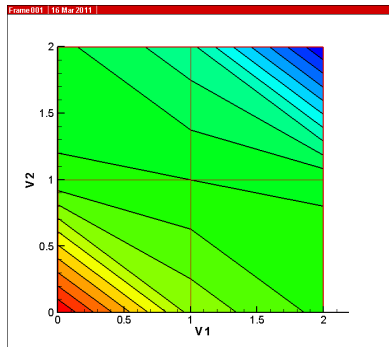
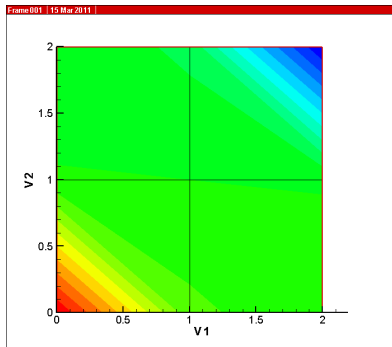


Figure: Ergebnisse des impliziten FD Verfahrens für $t=0.25, 10$ sec

Übung GW4 Der Quelltext für diese Übung befindet sich in EXERCISES.

Modellierung von Hydrosystemen
"Numerische und daten-basierte Methoden"
BHYWI-22-V2-09 © 2020
Finite-Elemente-Methode
Säulen-Modell

Olaf Kolditz

*Helmholtz Centre for Environmental Research – UFZ

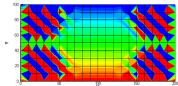
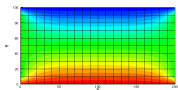
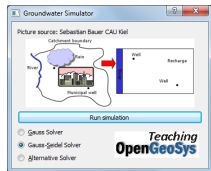
¹Technische Universität Dresden – TUDD

²Centre for Advanced Water Research – CAWR

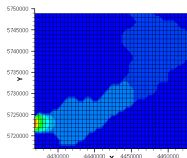
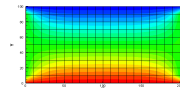
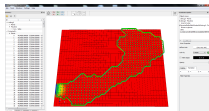
10.07.2020 - Dresden

- ▶ Zusammenfassung FDM
- ▶ Einführung in die Finite-Elemente-Methode (am Beispiel einer Bodensäule)
- ▶ Implementierung
- ▶ Testbeispiel

explizite FDM

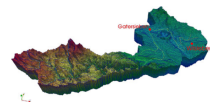
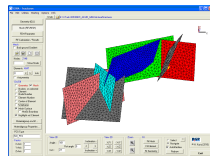


implizite FDM



- Pro / Cons
- FDM:
einfache
Implementierung, starre
Geometrien
- FEM:
schwieriger zu
implementieren (heute),
flexible
Geometrien

FEM



Wir haben uns sehr intensiv mit der Methode der finiten Differenzen beschäftigt. Bei der Einführung der numerischen Berechnungsmethoden in der Hydroinformatik II Veranstaltung haben wir gesehen, dass es ein ganzes Arsenal von Verfahren gibt (Abb. 2.1, Hydroinformatik II Skript), welche für bestimmte Problemstellungen geeignet oder ungeeignet sind. In den Visualisierungsübungen im VISLab werden wir sehen, dass FD Verfahren Grenzen haben, wenn es um die exakte Beschreibung komplexer Geometrien geht. Hier sind Verfahren im Vorteil, die sogenannte unstrukturierte Rechengitter benutzen können. Hierzu zählt z.B. die Finite Elemente Methode, mit der wir uns nun etwas näher beschäftigen möchten. Die Abb. 1 zeigt uns ein aktuelles Beispiel aus einem Forschungsvorhaben zusammen mit der Bundesanstalt für Geowissenschaften und Rohstoffe (BGR) in Hannover

Finite-Elemente-Methode (FEM)

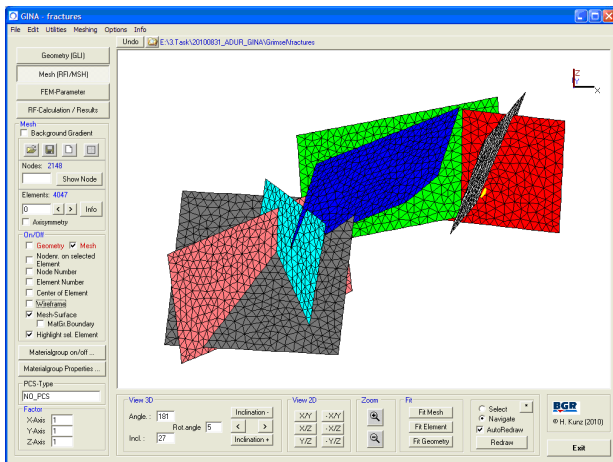


Figure: Modellierung eines Kluftsystems im Kristallin (Herbert Kunz, BGR)

Finite-Elemente-Methode (FEM) - Motivation

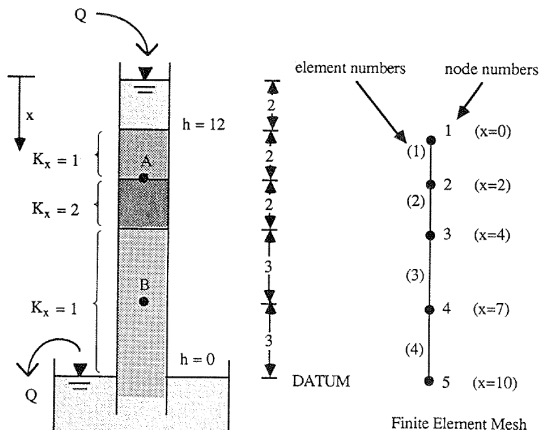


Figure: Bodensäulenmodell zur Erläuterung der FE Methode nach Istok (1989)

Wir betrachten ein 1D stationäres Grundwasserströmungsproblem.

$$\frac{\partial}{\partial x} \left(K_x \frac{\partial h}{\partial x} \right) = 0 \quad (1)$$

Ein Näherungsverfahren wird uns eine Näherungslösung \hat{h} liefern, welche die Bilanzgleichung (1) nicht mehr ganz korrekt erfüllt.

$$\frac{\partial}{\partial x} \left(K_x \frac{\partial \hat{h}}{\partial x} \right) = R(x) \neq 0 \quad (2)$$

Dabei ist $R(x)$ der Fehler, das sogenannte Residuum. Das Residuum kann in den verschiedenen Gitterpunkten i, j unterschiedliche Wert $R_i \neq R_j$ annehmen. Am Knoten 3 hängen die Elemente (2) und (3) (Abb. 2). Daher ergibt sich das Residuum im Knoten 3 aus den Elementwerten wie folgt.

$$R_3 = R_3^{(2)} + R_3^{(3)} \quad (3)$$

Ohne Beschränkung der Allgemeinheit können wir für jeden Knoten i , das Residuum wie folgt schreiben.

$$R_i = \sum_{e=1}^p R_i^{(e)} \quad (4)$$

Dabei ist p die Anzahl der Elemente, die am Knoten i angebunden sind.

Der Elementbeitrag zum Residuum lässt sich wie folgt berechnen.

$$R_i^{(e)} = \int_{x_i^e}^{x_j^e} N_i^{(e)} \left(K_x^{(e)} \frac{\partial^2 \hat{h}^{(e)}}{\partial x^2} \right) dx \quad (5)$$

Dabei ist $N_i^{(e)} \equiv W_i(x)$ eine Interpolationsfunktion auf dem Element (e) (Abb. 3).

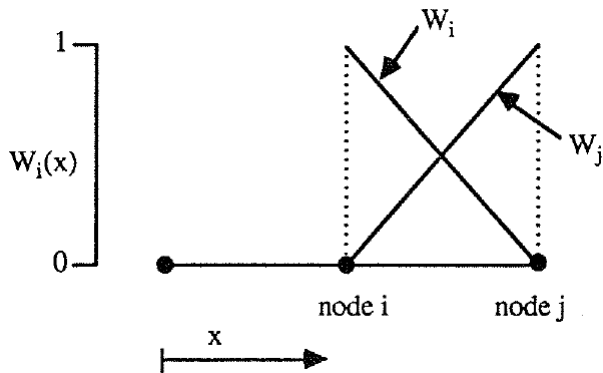


Figure: Interpolationsfunktion für die Galerkin-Methode nach Istok (1989)

Die gleiche Beziehung lässt sich den anderen Element-Knoten j schreiben.

$$R_j^{(e)} = \int_{x_i^{(e)}}^{x_j^{(e)}} N_j^{(e)} \left(K_x^{(e)} \frac{\partial^2 \hat{h}^{(e)}}{\partial x^2} \right) dx \quad (6)$$

Die linearen Interpolationsfunktionen für 1D Elemente sind

$$N_i^{(e)}(x) = \frac{x_j^{(e)} - x}{L(e)} \quad , \quad N_j^{(e)}(x) = \frac{x - x_i^{(e)}}{L(e)} \quad (7)$$

Die approximierte Feldgröße h kann nun wie folgt auf dem 1D finiten Element interpoliert werden (Abb. 3).

$$\begin{aligned}\hat{h}^{(e)}(x) &= N_i^{(e)} h_i + N_j^{(e)} h_j \\ &= \frac{x_j^{(e)} - x}{L^{(e)}} h_i + \frac{x - x_i^{(e)}}{L^{(e)}} h_j\end{aligned}\quad (8)$$

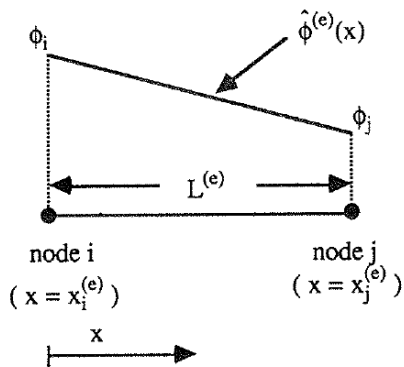


Figure: Interpolierte Näherungslösung auf einem 1D Element nach Istok (1989)

Jetzt stoßen wir auf ein ernsthaftes Problem. In den Gleichungen (5) und (6) müssten wir Ableitungen zweiter Ordnung berechnen, unsere Interpolationsfunktionen sind aber linear - also existieren keine zweiten Ableitung - was tun? Wir machen einen mathematischen Trick in diesen Gleichungen. Eine partielle Integration von (5) ergibt.

$$\int_{x_i^e}^{x_j^e} N_i^{(e)} \left(K_x^{(e)} \frac{\partial^2 \hat{h}^{(e)}}{\partial x^2} \right) dx \quad (9)$$
$$= - \int_{x_i^e}^{x_j^e} K_x^{(e)} \frac{\partial N_i^{(e)}}{\partial x} \frac{\partial \hat{h}^{(e)}}{\partial x} dx + N_i^{(e)} K_x^{(e)} \frac{\partial \hat{h}^{(e)}}{\partial x} \Big|_{x_i^e}^{x_j^e}$$

- ▶ Wie können wir die Umformung in Gleichung (10) überprüfen?

Der zweite Term auf der rechten Seite von (10)

$$N_i^{(e)} K_x^{(e)} \frac{\partial \hat{h}^{(e)}}{\partial x} \Big|_{x_i^e}^{x_j^e} \quad (10)$$

entspricht der Vorgabe von Werten auf den Randknoten x_j^e und x_i^e des Elements (e). Handelt es sich um einen Randknoten, dann geht es um Randbedingungen.

- ▶ Um welchen Randbedingungstypen handelt es bei (10)?
- ▶ Welche Randbedingung ist es, wenn der Wert von (10) gleich Null ist?
- ▶ Was passiert mit inneren Knoten?

Nun setzen wir die Beziehung (10) in die Gleichung (5) ein und erhalten.

$$\begin{aligned} R_i^{(e)} &= \int_{x_i^e}^{x_j^e} N_i^{(e)} \left(K_x^{(e)} \frac{\partial^2 \hat{h}^{(e)}}{\partial x^2} \right) dx \\ &= - \int_{x_i^e}^{x_j^e} K_x^{(e)} \frac{\partial N_i^{(e)}}{\partial x} \frac{\partial \hat{h}^{(e)}}{\partial x} dx + N_i^{(e)} K_x^{(e)} \frac{\partial \hat{h}^{(e)}}{\partial x} \Big|_{x_i^e}^{x_j^e} \quad (11) \end{aligned}$$

Jetzt müssen wir uns um $\partial \hat{h}^{(e)} / \partial x$ kümmern.

$$\frac{\partial \hat{h}^{(e)}}{\partial x} = \frac{\partial}{\partial x} \left(N_i^{(e)} h_i + N_j^{(e)} h_j \right) = \frac{\partial N_i^{(e)}}{\partial x} h_i + \frac{\partial N_j^{(e)}}{\partial x} h_j \quad (12)$$

Nach Einsetzen der Interpolationsfunktionen erhalten wir schließlich.

$$\frac{\partial \hat{h}^{(e)}}{\partial x} = \frac{1}{L^{(e)}}(-h_i + h_j) \quad (13)$$

Für die Ableitungen der linearen Interpolationsfunktionen folgt.

$$\frac{\partial N_i^{(e)}}{\partial x} = \frac{\partial}{\partial x} \left(\frac{x_j^{(e)} - x}{L(e)} \right) = -\frac{1}{L(e)} \quad (14)$$

$$\frac{\partial N_j^{(e)}}{\partial x} = \frac{\partial}{\partial x} \left(\frac{x - x_i^{(e)}}{L(e)} \right) = \frac{1}{L(e)} \quad (15)$$

Setzen wir jetzt die Beziehungen in die Gleichung (11) ein, ergibt sich.

$$\begin{aligned} R_i^{(e)} &= \int_{x_i^e}^{x_j^e} K_x^{(e)} \left(-\frac{1}{L(e)} \right) \left(\frac{1}{L(e)} \right) (-h_i + h_j) \\ &= \frac{K_x^{(e)}}{L(e)} (h_i - h_j) \end{aligned} \quad (16)$$

In gleicher Weise bekommen wir.

$$R_j^{(e)} = \frac{K_x^{(e)}}{L(e)} (-h_i + h_j) \quad (17)$$

Beide Gleichungen (16) und (17) lassen sich zusammen in einer Matrizen-Form schreiben.

$$\left\{ \begin{array}{c} R_i^{(e)} \\ R_j^{(e)} \end{array} \right\} = \frac{K_x^{(e)}}{L^{(e)}} \underbrace{\begin{bmatrix} +1 & -1 \\ -1 & +1 \end{bmatrix}}_{2 \times 2} \left\{ \begin{array}{c} h_i \\ h_j \end{array} \right\} \quad (18)$$

Leitfähigkeitsmatrix

$$[K^{(e)}] = \frac{K_x^{(e)}}{L^{(e)}} \underbrace{\begin{bmatrix} +1 & -1 \\ -1 & +1 \end{bmatrix}}_{2 \times 2} \quad (19)$$

Aufgrund der Elementgeometrien $L^{(e)}$ (Abb. 2) ergeben sich folgende Elementmatrizen.

$$\begin{aligned} [K^{(1)}] &= \begin{bmatrix} +1/2 & -1/2 \\ -1/2 & +1/2 \end{bmatrix}, & [K^{(2)}] &= \begin{bmatrix} +1 & -1 \\ -1 & +1 \end{bmatrix} \\ [K^{(3)}] &= \begin{bmatrix} +1/3 & -1/3 \\ -1/3 & +1/3 \end{bmatrix}, & [K^{(4)}] &= \begin{bmatrix} +1/3 & -1/3 \\ -1/3 & +1/3 \end{bmatrix} \end{aligned} \quad (20)$$

Zusammenbauen des Gleichungssystems.

$$\{\mathbf{R}\} = [\mathbf{K}]\{\mathbf{h}\} = 0 \quad (21)$$

$$\{\mathbf{R}\} = \begin{bmatrix} R_1 \\ R_2 \\ R_3 \\ R_4 \\ R_5 \end{bmatrix}, \quad \{\mathbf{h}\} = \begin{bmatrix} h_1 \\ h_2 \\ h_3 \\ h_4 \\ h_5 \end{bmatrix} \quad (22)$$

$$[\mathbf{K}] = [\mathbf{K}^{(1)}] + [\mathbf{K}^{(2)}] + [\mathbf{K}^{(3)}] + [\mathbf{K}^{(4)}] \quad (23)$$

$$\begin{aligned} [\mathbf{K}] &= \begin{bmatrix} 1/2 & -1/2 & 0 & 0 & 0 \\ -1/2 & 1 + 1/2 & -1 & 0 & 0 \\ 0 & -1 & 1 + 1/3 & -1/3 & 0 \\ 0 & 0 & -1/3 & 1/3 + 1/3 & -1/3 \\ 0 & 0 & 0 & -1/3 & 1/3 \end{bmatrix} \\ &= \begin{bmatrix} 1/2 & -1/2 & 0 & 0 & 0 \\ -1/2 & 3/2 & -1 & 0 & 0 \\ 0 & -1 & 4/3 & -1/3 & 0 \\ 0 & 0 & -1/3 & 2/3 & -1/3 \\ 0 & 0 & 0 & -1/3 & 1/3 \end{bmatrix} \end{aligned} \quad (24)$$

$$\begin{bmatrix} 1/2 & -1/2 & 0 & 0 & 0 \\ -1/2 & 3/2 & -1 & 0 & 0 \\ 0 & -1 & 4/3 & -1/3 & 0 \\ 0 & 0 & -1/3 & 2/3 & -1/3 \\ 0 & 0 & 0 & -1/3 & 1/3 \end{bmatrix} \begin{Bmatrix} h_1 \\ h_2 \\ h_3 \\ h_4 \\ h_5 \end{Bmatrix} = \begin{Bmatrix} 0 \\ 0 \\ 0 \\ 0 \\ 0 \end{Bmatrix} \quad (25)$$

Vergleichen wir die Quelltexte der `main` Funktionen für FD und FE Verfahren, sehen wir kaum Unterschiede. Das heisst die Abläufe (Algorithmen) sind sehr ähnlich.

Finite-Elemente-Methode (FEM)

```
extern void Gauss(double*,double*,double*,int);

int main()
{
    //-----
    FEM* fem = new FEM();
    fem->SetInitialConditions();
    fem->SetBoundaryConditions();
    //-----
    int tn = 10;
    for(int t=0;t<tn;t++)
    {
        fem->AssembleEquationSystem();
        Gauss(fem->matrix,fem->vecb,fem->vecx,fem->IJ);
        fem->SaveTimeStep();
        fem->OutputResults(t);
    }
    //-----
    return 0;
}
```